

一様河道における洪水流について

京都大学防災研究所 正員 高橋 保

一様河道を流下する洪水流については、その特性がほぼ明らかにされており、基礎方程式の解も電子計算機によってかなり精度よく求めることができる。本報は一様河道の洪水流をあらわす基礎方程式の物理的な特性をさらに明確にするために、新しい指標を導入し、このことによって非定常流を分類し、洪水流に対する擾動解を得るものである。

(1) 基礎方程式の無次元表示と指標 σ の導入：広幅長方形断面水路における断面平均流の一次元運動方程式と連続式は、

$$S - (1 - \frac{Q^2}{gH^3}) \frac{\partial H}{\partial x} = \frac{1}{gH} \frac{\partial Q}{\partial t} + \frac{2Q}{gH^2} \frac{\partial Q}{\partial x} + \frac{H'Q^2}{H^3} \dots (1), \quad \frac{\partial H}{\partial t} + \frac{\partial Q}{\partial x} = 0 \dots (2)$$

である。いま、上流端 $x=0$ において図-1に示したような水位-時間曲線が与えられたものとする。さて、(1), (2) 式を無次元化して解析するが、線型変換としては

$$\begin{cases} H = H_m \eta, & t = (H_m/H_u) T_0 \tau \\ Q = \sqrt{gH_m^3} \xi, & x = \sqrt{gH_m^3} (\frac{1}{H_u}) T_0 \zeta \end{cases} \dots (3)$$

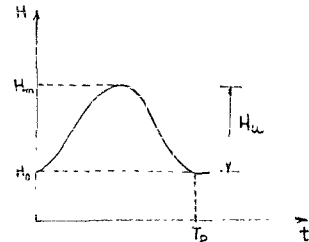


図-1

を採用する。林¹⁾は変換にあたって洪水頂点でのハイドログラフの曲率 κ 、波形の逸減特性に重要な役割を演ずることから、これを重要な要素と考へて長波性の指標 σ を導入した。これは洪水頂点での伝播、減衰現象を説明するのに好都合であるが、洪水波形全体についての議論はなされておらず、波頂曲率の伝播にともなう変化が不明な段階では実際上、追跡計算を進めることができない。いま、(3) 式のような変換を(1), (2) 式にほどこすと、

$$(1 - \frac{\xi^2}{\eta^3}) \frac{\partial \eta}{\partial \zeta} = (1 - \frac{\xi^2}{\eta^3}) \frac{\partial \eta}{\partial \zeta} + \sigma \frac{1}{\eta} \frac{\partial \xi}{\partial \zeta} + 2\sigma \frac{\xi}{\eta} \frac{\partial \xi}{\partial \zeta} \dots (4), \quad \frac{\partial \eta}{\partial \tau} + \frac{\partial \xi}{\partial \zeta} = 0 \dots (5)$$

が得られる。ただし、 $\sigma = H_u \sqrt{gH_m} / T_0 \dots (6)$, $F_1^2 = H_m^3 S / H_u^3 g \dots (7)$ である。

ここに導入された無次元量 σ は水位上昇速度 $(\partial H / \partial t)$ と水深 H_m に対する長波の伝播速度の鉛直成分との比のオーダーの値を持つており、この値の大きさによって非定常流の性質が変化するものと考えられる。このことを明確にするためにハイドログラフの前部部近傍における段波の生起条件をMaitland & Whitham²⁾の方法に従って求めると、二等辺三角形状のハイドログラフに対して、 $\sigma > \frac{n^2 g^{3/4} H_0^{1/4}}{3S \sqrt{gH_m}} (1 + F_0) (1 - \frac{2}{3} F_0) \dots (8)$ (ここに、 F_0 は水深 H_0 に対するFroude数)

が得られる。例として、 $n=0.03$, $S=0.001$, $H_0=2m$, $H_m=8m$ の場合を考えると(8)式は $\sigma > 1.06$ となる。なお、これに対応する継続時間は $T_0 < 300 \text{ sec}$. である。

(2) $\sigma \gg 1$ の場合：このようなとき(4)式の左辺は σ にくらべて無視される、すなわち、波高の微小な変動を考へて線型化すると、(4), (5)式より

$$(1 - \frac{\xi^2}{\eta^3}) \frac{\partial \eta}{\partial \zeta} = \frac{1}{\eta_0} \frac{\partial \eta}{\partial \zeta} - \frac{2\xi_0}{\eta_0^2} \frac{\partial \xi}{\partial \zeta} = 0 \dots (9)$$

と得る。ただし、添字 0 は基底流に対するものを示していい。この微分方程式の条件

$$\begin{aligned} h(\xi, 0) = 0, \quad \eta(\xi, 0) = 0, \quad \eta(0, \tau) = f(\tau) = 1; (\tau > 0 \text{ のとき}) \\ = 0; (\tau \leq 0 \text{ のとき}) \end{aligned} \quad \left\{ \dots \right. \quad (10)$$

のその解は、 $h(\xi, \tau) = 1, (\tau > 0 \text{ のとき}); = 0, (\tau \leq 0 \text{ のとき})$ が伝播速度 $\omega = u_0 + \sqrt{g_0}$ で伝播する
ような理想段波を示している。

(3) $\sigma \approx 1$ の場合: (4), (5) 式は微小変動法による線型化によって解かれ得るが、このような波
に対するこの方程式の妥当性に関して物理的に疑問があり、鉛直方向の運動も考慮に
入れる必要があると思われる。

(4) $\sigma \ll 1$ の場合: 一般に浅水流と叫ばれる場合であり、 σ による振動解が求まる。

$$h = h_0(\xi, \tau) + h_1(\xi, \tau)\sigma + h_2(\xi, \tau)\sigma^2 + \dots, \quad \eta = \eta_0(\xi, \tau) + \eta_1(\xi, \tau)\sigma + \eta_2(\xi, \tau)\sigma^2 + \dots \quad (11)$$

のように展開して考えよう。境界条件および初期条件は、

$$\xi = 0 \text{ で } h = h_0(\tau) = f(\tau), \quad \eta = \eta_0 = \dots = 0, \quad \tau = 0 \text{ で } \eta = \eta_0(\xi) = H_0/H_m (= \text{const}) \quad (12)$$

である。(11) 式を (4), (5) 式に代入して σ のべき乗に整理する。 σ のべき乗の係数 0 とおくと
より振動解が得られるが、 σ の 0 次の項より、

$$1 - (1/\sqrt{F_0})(g_0^2/h_0^2) = 0 \quad (13), \quad \partial \eta_0 / \partial \tau + \partial^2 \eta_0 / \partial \xi^2 = 0 \quad (14) \text{ を得る。これより、}$$

より近似解 h_0 の一般解は特性曲線 $d^3 \tau / d\xi = \frac{2}{3} F_0 h_0^2 \quad (15)$ 上において、

$$h_0 = f(\tau - \frac{2}{3} F_0 h_0^2 \xi) \quad (16) \text{ と 1 を求まる。つぎに、}\sigma \text{ の 1 次の項より、}$$

$$\frac{1}{F_0} \frac{g_0^2}{h_0^{10/3}} \left(\frac{10}{3} \frac{h_1}{h_0} - \frac{2\eta_1}{h_0} \right) = \left(1 - \frac{g_0^2}{h_0^2} \right) \frac{\partial h_1}{\partial \xi} + \frac{1}{h_0} \frac{\partial^2 h_1}{\partial \xi^2} + 2 \frac{F_0}{h_0^2} \frac{\partial \eta_1}{\partial \xi} \quad (17), \quad \frac{\partial \eta_1}{\partial \tau} + \frac{\partial^2 \eta_1}{\partial \xi^2} = 0 \quad (18);$$

を得られ、この解は特性曲線 (15) 上において、

$$h_1 = \frac{g_0}{10} \frac{K}{\frac{2\eta_1}{h_0}} \left\{ 1 - 2F_0 \left(\frac{2}{3} \frac{\partial \eta_1}{\partial \xi} \xi \right) \right\} \quad (19), \quad \text{ただし、} K = \left(\frac{\partial \eta_1}{\partial \xi} \right)^2 \left(\frac{5}{3} \frac{h_1}{h_0} - \frac{4}{7} F_0^2 \frac{h_1^2}{h_0^2} \right) + \frac{1}{2} \frac{h_1^2}{h_0^2} \left(1 + \frac{4}{7} F_0 \frac{h_1}{h_0} \right) \frac{\partial^2 \eta_1}{\partial \xi^2} \quad (20)$$

として求まる。なお、波頂では $f = 1, \xi = 0, \frac{\partial^2 \eta_1}{\partial \xi^2} = \frac{F_0}{25 F_0^2} f^2$ であるから、別途は特性曲線、

$$d^3 \tau / d\xi = \frac{2}{3} F_0 \quad (21) \text{ 上において、} h_1 = \frac{27}{250} \left(\frac{1}{F_0^2} - \frac{4}{7} \right) f^2 \xi \quad (22) \text{ のように求まる。このこ}$$

ハイトログラフ全体の波形についてのより近似解が求まった。波頂については林のより近
似解と一致している。ほかのより大きな場合を予想して波頂に対するより近似解を求めよ
う。 σ^2 の項までを考慮することにより、

$$-\frac{g_0^2}{F_0^2 h_0^{10/3}} \left[\frac{130}{18} \frac{h_2}{h_0^2} - \frac{20\eta_2}{3g_0 h_0} + \frac{g_1^2}{g_0^2} - \frac{10}{3} \frac{h_1}{h_0} + \frac{2\eta_1}{h_0} \right] = \left(1 - \frac{g_0^2}{h_0^2} \right) \frac{\partial h_2}{\partial \xi} - \frac{1}{h_0} \frac{\partial^2 h_2}{\partial \xi^2} - \frac{2F_0}{h_0^2} \frac{\partial \eta_2}{\partial \xi} + \frac{2\eta_1}{h_0^2} \frac{\partial \eta_1}{\partial \xi} \left(\frac{h_1}{h_0} - \frac{2\eta_1}{h_0} \right) \quad (23)$$

$\partial \eta_2 / \partial \tau + \partial^2 \eta_2 / \partial \xi^2 = 0 \quad (24)$ を得るから、解は特性曲線 (21) 上において

$$h_2 = \frac{1701}{125000} \left(\frac{1}{F_0^2} - \frac{4}{7} \right) \left(\frac{1}{F_0^2} - \frac{13}{7} \right) f^2 \xi^2 \quad (25)$$

を得る。波頂における解の次元を元に戻せば、より近似まで、

$$H = H_m \left[1 + \frac{27}{250} \frac{F_0(\text{Peak})}{SgH_m} \left(\frac{1}{F_0^2} - \frac{4}{7} \right) \xi + \frac{1701}{125000} \left(\frac{1}{F_0^2} - \frac{4}{7} \right) \left(\frac{1}{F_0^2} - \frac{13}{7} \right) \frac{F_0^2(\text{Peak})}{Sg^2 H_m^2} \xi^2 \right] \quad (26)$$

となる。より伝播速度は (21) より KdV-Seddon の規則に従うことがわかる。数値計算結果に
ついては論文に述べる。参考文献

- 1) 林義三: Mathematical Theory and Experiment of Flood Waves. 地球物理学, No. 18, 1953
2) J. H. Keulegan & Whitlam: On Kinematic Waves. Proc. Roy. Soc. London, Vol. 227, 1955